



Amélioration de l'apprentissage des Modèles de Markov Cachés pour l'estimation de l'état de santé d'un système industriel

Improved learning of Hidden Markov Model for estimating the state of health of an industrial system

KHODJA Nesrine Keltoum
Université d'Orléans, Laboratoire
PRISME, IUT de l'Indre,
Châteauroux

DUCULTY Florent
Université d'Orléans, Laboratoire
PRISME, IUT de l'Indre
Châteauroux

BEGOT Stéphane
Université d'Orléans, Laboratoire
PRISME, IUT de l'Indre
Châteauroux

AVILA Manuel
Université d'Orléans, Laboratoire
PRISME, IUT de l'Indre
Châteauroux

Nesrine.khodja@univ-orleans.fr

florent.duculty@univ-orleans.fr

stephane.begot@univ-orleans.fr

manuel.avila@univ-orleans.fr

4

I. INTRODUCTION

5 La production de données numériques (puissance, courant, tension, vibration, régime, images, vidéo) par des capteurs, des
6 machines ou des êtres humains augmente considérablement de jour en jour. Le traitement, l'analyse et l'interprétation des
7 données, ainsi que l'acquisition de connaissances à partir des données, sont des éléments essentiels dans notre société. Dans un
8 tel contexte technologique, l'utilisation de la reconnaissance de formes (RP) et de l'intelligence artificielle (IA) est devenu
9 importante. Les données des capteurs, la parole, les images, le langage et les documents peuvent être analysées grâce aux
10 domaines du traitement du signal, de la reconnaissance des formes et de l'intelligence artificielle. Il est donc plus que jamais
11 nécessaire de mettre en évidence les spécificités et les complémentarités de ces domaines afin de résoudre ces problèmes.

12 La plupart des chercheurs se sont consacrés au développement et à l'amélioration d'algorithmes d'identification et de
13 classification. Pour prédire à partir d'énormes quantités de données, les méthodes de modélisation sont fondées sur l'apprentissage
14 automatique. Les méthodes de classification comprennent les réseaux neuronaux (NN) (Gong et al.,2021), la régression à vecteur
15 de support (SVR) (Qiu et al. ,2020) et les machines à vecteur de support (SVM) (Li et al.,2021).

16 Dans le cas d'événements séquentiels (dans le temps ou dans l'espace), l'utilisation de modèles de Markov cachés (MMC) est
17 efficace et a été appliquée avec succès dans le domaine de l'identification. En raison de leurs puissantes capacités de
18 reconnaissance des formes, de nombreux chercheurs ont appliqué les MMC dans plusieurs domaines : reconnaissance de
19 caractères, reconnaissance vocale, reconnaissance faciale (Kim et al.,2003), caractérisation en médecine (toux) (Liu et al. ,2015),
20 reconnaissance du comportement, ainsi que dans le diagnostic et le pronostic des défaillances (Lee et al.,2004). Dans certains
21 travaux, les chercheurs ont contribué à améliorer l'utilisation des modèles de Markov cachés (MMC) dans les systèmes
22 d'intelligence artificielle, comme dans les travaux de (Aupetit et al.,2007), qui ont introduit les algorithmes génétiques,
23 l'algorithme de fourmis artificielles pour améliorer l'apprentissage des modèles de Markov cachés. Les MMC ont également été
24 utilisés dans des problèmes multi-classes en les combinant avec d'autres classificateurs, comme dans (Martín-Iglesias et al.,2005),
25 pour effectuer une reconnaissance vocale multi-classes fondée sur un SVM avec une segmentation guidée par un MMC, ou
26 (Wang et al., 2022) qui ont fusionné un réseau neurone profond et un MMC pour reconnaître le comportement multi-classes
27 anormal des personnes âgées. Les MMC ont également été utilisés dans les problèmes de clustering, comme dans le travail de
28 (Smyth,1997), mais dans notre étude, l'objectif n'est pas de faire du clustering à l'aide de MMC, mais de résoudre des problèmes
29 multi-classes. Pour ce faire, nous introduirons une nouvelle stratégie d'apprentissage. Cette stratégie s'inspire des principes de
30 non-comportement (NBA) (Cao et al.,2015).

31

II. LES MODELS DE MARKOV CACHES (MMC)

32 D'abord utilisées pour résoudre le problème de la reconnaissance de la parole (Rabiner,1989), puis pour la reconnaissance de
33 caractères, les MMC ont la capacité d'assimiler la variabilité des observations (ou des caractéristiques) à une structure (ou une
34 topologie) spécifique. Les MMC, avec la propriété de Markov, ont la capacité de détecter la forme ou la signature spécifique
35 d'une séquence d'événements (ou d'observations). La propriété de Markov signifie que les états futurs d'un processus dépendent
36 uniquement de l'état actuel. Depuis des dizaines d'années, de nombreux travaux ont été publiés dans plusieurs domaines sur les
37 différentes utilisations des MMC. Dans cet article, nous nous concentrons sur le problème de l'apprentissage de MMC discrets
38 dans le cas d'une mise en compétition de plusieurs classes. Un modèle de Markov est caractérisé par les éléments suivants :

- 39 • $S = \{S_1, S_2, \dots, S_N\}$: État individuel avec N le nombre d'états dans le modèle, ces états sont cachés.
- 40 • $V = \{v_1, v_2, \dots, v_M\}$: Symboles individuels avec M le nombre de symboles d'observation distincts par état.
- 41 • $Q = \{q_1, q_2, \dots, q_T\}$: Séquence d'états avec T la longueur de la séquence, l'état à l'instant t est q_t .
- 42 • $O = \{O_1, O_2, \dots, O_T\}$: Séquence d'observations où chaque O_t est une des formes de symboles suivantes forme de
- 43 symbole V.
- 44 • La distribution de probabilité des transitions d'état $A = \{a_{ij}\}$ avec :

$$45 \quad a_{ij} = P[q_{t+1} = S_j | q_t = S_i] \quad 1 \leq i, j \leq N \quad (1)$$

- 46 • La distribution de probabilité du symbole d'observation dans l'état j, $B = \{b_j(k)\}$ est:

$$47 \quad \begin{cases} b_j(k) = P[v_k \text{ à } t | q_t = S_j] \\ 1 \leq j \leq N \text{ et } 1 \leq k \leq M \end{cases} \quad (2)$$

- 48 • π le vecteur d'état initial où $\pi = \{\pi_i\}$.

49 Un modèle de Markov caché discret peut être défini comme suit:

$$50 \quad \lambda = (\pi, A, B) \quad (3)$$

53 Dans cet article, nous considérons qu'il y a plusieurs modèles en compétition. Pour chaque catégorie ou classe, nous utilisons un

54 modèle de 1 à R, avec R le nombre de classes.

$$55 \quad \lambda_r = (\pi_r, A_r, B_r), \quad r \in [1, R] \quad (4)$$

56 A. Type de MMC

57 La topologie des MMC peut être adaptée en fonction de la spécificité du système à modéliser. Plusieurs types de topologies

58 peuvent être utilisés. Par exemple, un modèle ergodique (Fig. 1 (a)) ou un modèle gauche-droite (Fig. 1 (b)). Le modèle ergodique

59 ne comporte aucune restriction. Il offre au modèle de nombreuses possibilités d'assimiler des observations ou des événements au

60 cours de la phase d'apprentissage. Les modèles gauche-droite sont mieux adaptés aux événements orientés. Ces types de

61 topologies sont souvent utilisés dans le domaine de la reconnaissance de caractères ou de mots. Définir une topologie signifie

62 seulement mettre certaines probabilités de transition à zéro.

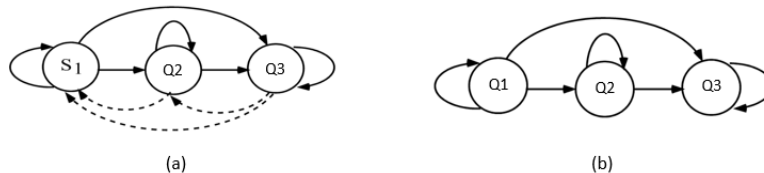
63 B. Trois problèmes fondamentaux pour les MMC

64 Pour exploiter les MMC de nos jours, nous disposons de diverses boîtes à outils. Nous utilisons l'une d'entre elles disponible

65 dans Matlab. Les algorithmes habituels sont utilisés pour résoudre les trois problèmes de base des MMC: l'évaluation de $P(O|\lambda)$,

66 le décodage et l'apprentissage.

- 69 • **Évaluation** : étant donné un MMC, il est essentiel de déterminer la probabilité qu'une séquence observée soit
- 70 générée par ce modèle. Les algorithmes Forward et Backward sont utilisés pour cette tâche. Cependant, dans le
- 71 cadre d'un dispositif de suivi de l'état de santé d'un système, seule la variable Forward sera utilisée, la variable
- 72 Backward étant calculée depuis la fin de la chaîne. Cela suppose que l'on a déjà atteint l'état de panne.



74 Fig. 1. Type de MMC (a : ergodique, b : gauche-droite).

- 75 • **Décodage** : les états d'un MMC ne sont pas observables. Le problème du décodage consiste à chercher la séquence
- 76 d'états Q la plus probable, étant donné une séquence d'observations O. L'algorithme de Viterbi est généralement
- 77 utilisé pour résoudre ce problème.

79

- **Apprentissage** : le but est d'ajuster les paramètres du MMC, afin de maximiser la probabilité d'observation $P(O|\lambda)$. L'algorithme Baum Welch est souvent utilisé pour cette tâche. En débutant le processus d'apprentissage avec un ensemble de paramètres (π, A, B) tiré aléatoirement, un processus récursif va permettre de réestimer les paramètres du modèle pour converger vers un modèle $\tilde{\lambda}$ qui maximise la vraisemblance des séquences O du corpus d'apprentissage sachant le modèle $P(O|\lambda)$. L'apprentissage peut également s'effectuer avec l'algorithme de Viterbi. Dans ce cas, seule la séquence d'états la plus probable est prise en compte dans le processus récursif de réestimation des paramètres, contrairement à l'algorithme de Baum Welch qui considère l'ensemble des séquences d'états possibles. D'autres variantes ont été développées (Aupetit,2007), comme les algorithmes génétiques ou des fourmis. L'idée générale, pour éviter de converger vers un minima local, est de remettre en question l'apprentissage en cours pour repartir avec de nouveaux paramètres obtenus par assemblage de différents paramètres d'apprentissage.

III. LES ALGORITHMES DE BASE

Dans cette section, nous décrivons les différents algorithmes utilisés dans les MMC.

A. Algorithme de Forward-Backward

Si nous voulons calculer la probabilité de générer la séquence de symboles $O=\{O_1,O_2,\dots,O_T\}$ à l'aide d'un MMC, nous utilisons l'algorithme Forward (Rabiner ,1989) pour lequel nous définissons la variable suivante:

$$\alpha_t(i) = P(O_1, O_2 \dots O_t, q_t = S_i | \lambda) \quad (5)$$

Cette variable exprime la probabilité d'avoir généré la séquence $O = \{O_1, O_2, \dots, O_T\}$ depuis le début (start) jusqu'à l'état S_i à l'instant t (voir l'équation 6).

$$P(O|\lambda) = \left(\sum_{i=1}^N \alpha_t(i) \right) \quad (6)$$

Cet algorithme est appelé "Forward" car la récursivité est effectuée en avant : on calcule d'abord la probabilité de générer le premier symbole de la séquence, puis on ajoute un symbole à chaque étape de la récursivité et on répète la procédure jusqu'à ce que la probabilité de générer l'ensemble de la séquence ait été calculée. Un algorithme inverse similaire « Backward » peut être utilisé pour effectuer le calcul en sens inverse. La variable $\beta_t(i)$ est défini comme suit :

$$\beta_t(i) = P(O_{t+1}, O_{t+2} \dots O_T, q_t = S_i | \lambda) \quad (7)$$

Elle exprime la probabilité d'une séquence d'observations partielles $O_{t+1}, O_{t+2} \dots O_T$ compte tenu de l'état S_i à l'instant t et du modèle λ (8)

$$\beta_t(i) = \left(\sum_{j=1}^N a_{ij} b_j O_{t+1} \beta_{t+1}(j) \right) \quad (8)$$

B. Algorithme de Viterbi

L'algorithme de Viterbi est une solution optimale de maximum de vraisemblance pour l'estimation d'une séquence d'états d'un processus de Markov avec des temps discrets et un nombre d'états fini. Rappelons que l'algorithme de Viterbi est une solution au problème 2 abordé dans la section précédente. Avec l'algorithme de Viterbi, nous recherchons le chemin le plus probable $Q = \{q_1, q_2, \dots, q_T\}$ pour lequel la vraisemblance est maximale, c'est-à-dire:

$$P((q_1, q_2, \dots, q_T) | O, \lambda) \quad (9)$$

Pour cela, nous définissons:

$$\delta_t(i) = \max_{q_1, q_2, \dots, q_{t-1}} P(q_1, q_2, \dots, q_t = i, O_1, O_2, \dots, O_t | \lambda) \quad (10)$$

$\delta_t(i)$ est la probabilité maximale des chemins se terminant dans l'état i . Par induction, nous obtenons:

$$\delta_{t+1}(j) = \max_i [\delta_t(i) a_{ij}] \cdot b_j(O_{t+1}) \quad (11)$$

Description de l'algorithme

Initialisation :

$$\begin{cases} \delta_1(i) = \pi_i b_i(O_1), 1 \leq i \leq N \\ \Psi_1(i) = 0 \end{cases} \quad (12)$$

Récursion :

$$\delta_t(j) = \max_{1 \leq i \leq N} [\delta_{t-1}(i) a_{ij}] b_j(O_t) \quad (13)$$

$$\left\{ \begin{array}{l} \Psi_t(j) = \arg \max_{1 \leq i \leq N} [\delta_{t-1}(i) a_{ij}] \\ \text{avec} \\ 2 \leq t \leq T, 1 \leq j \leq N \end{array} \right. \quad (14)$$

Évaluation du meilleur score (c'est-à-dire du chemin le plus probable) :

$$P^* = \max_{1 \leq i \leq N} [\delta_T(i)] \quad (15)$$

$$Q_T^* = \operatorname{argmax}_{1 \leq i \leq N} [\delta_T(i)] \quad (16)$$

$$Q_t^* = \Psi_{t+1}(Q_{t+1}^*), \quad t = T-1, T-2, \dots, 1 \quad (17)$$

Dans la pratique, nous prenons le logarithme de chacune des probabilités impliquées, de sorte que tous les produits de probabilité sont remplacés par des sommes.

IV. APPRENTISSAGE DES MMC

Dans cette section, nous nous concentrons sur l'apprentissage des MMC à partir d'une structure connue et d'un ensemble d'apprentissage.

Soit $O_{\text{app}} = \{O_{\text{app } 1}, O_{\text{app } 2}, \dots, O_{\text{app } L}\}$ l'ensemble des séquences d'entraînement. Ces séquences sont supposées indépendantes, de sorte que la probabilité de générer l'ensemble d'apprentissage est simplement le produit des probabilités de générer chaque séquence. Notre objectif est alors de trouver les paramètres $\lambda = (\pi, A, B)$ qui maximisent :

$$P(O_{\text{app}} | \lambda) = \prod_{l=1}^L P(O_{\text{app } l} | \lambda) \quad (18)$$

La plupart des méthodes d'apprentissage des MMC sont dérivées de l'algorithme d'Espérance-Maximisation (EM). L'algorithme EM général est attribué à (Dempster et al., 1997), cet algorithme conduit à une séquence de paramètres dont les valeurs de vraisemblance augmentent de façon monotone. Ils ont également inventé le terme "algorithme EM". Il est important de noter que l'algorithme EM pour les MMC a été décrit comme l'algorithme de Baum-Welch (Baum et al., 1970).

A. Algorithme de Baum_Welch

L'algorithme de Baum-Welch estime les paramètres du MMC λ en maximisant $P(O | \lambda)$.

$$\xi_t(i, j) = P(q_t = S_i, q_{t+1} = S_j | O, \lambda) \quad (19)$$

La probabilité que nous générions O en passant par l'état i au temps t et par l'état j au temps $t+1$, cette équation peut être réécrite comme suit :

$$\xi_t(i, j) = \frac{P(q_t = S_i, q_{t+1} = S_j | O, \lambda)}{P(O | \lambda)} \quad (20)$$

Et en utilisant les variables Forward et Backward décrites dans la section précédente :

$$\left\{ \begin{array}{l} \xi_t(i, j) = \frac{\alpha_t(i) a_{ij} b_j(O_{t+1}) \beta_{t+1}(j)}{P(O | \lambda)} \\ = \\ \frac{\alpha_t(i) a_{ij} b_j(O_{t+1}) \beta_{t+1}(j)}{\sum_{i=1}^N \sum_{j=1}^N \alpha_t(i) a_{ij} b_j(O_{t+1}) \beta_{t+1}(j)} \end{array} \right. \quad (21)$$

En considérant la probabilité a posteriori, $\delta_t(i)$:

$$\delta_t = P(q_t = S_i | O, \lambda) \quad (22)$$

Elle exprime la probabilité qu'en générant de O avec λ on se trouve à l'état i à l'instant t . Exprimée comme une fonction de

$\xi_t(i, j)$, $\delta_t(i)$:

172

$$\delta_t = \sum_{j=1}^N \xi_t(i,j) \tag{23}$$

173

Si l'on fait la somme de $\delta_t(i)$ sur l'ensemble des instants t , on obtient une quantité qui peut être interprétée comme l'espérance du nombre de fois où l'état q est utilisé pour générer la séquence O . De même, si l'on fait la somme de $\xi_t(i,j)$ sur l'ensemble des instants t , on obtient des quantités qui peuvent être interprétées comme l'espérance du nombre de fois où la transition $i \rightarrow j$ est utilisée pour générer la séquence O . On a donc :

177

$$\sum_{t=1}^{T-1} \delta_t(i) = \text{Espérance du nombre des passages } S_i$$

178

179

$$\sum_{t=1}^{T-1} \xi_t(i,j) = \text{Espérance du nombre de transition de } i \rightarrow j$$

180

181

B. Algorithme d'apprentissage par Viterbi

182

Il existe une autre façon d'entraîner les MMC à l'aide de l'algorithme de Viterbi : si les chemins de Viterbi des séquences d'apprentissage sont connus, chaque état, chaque transition et chaque symbole attaché aux états des MMC peut être associé au nombre de fois qu'il a été utilisé pour générer ces séquences.

185

L'algorithme d'apprentissage de Viterbi est fondé sur le même principe que l'algorithme EM, sauf qu'ici nous remplaçons la partie E par le chemin de Viterbi.

187

$$P(O_{app}, Q^* | \lambda) = \prod_{l=1}^L P(O_{app l}, q^{*l} | \lambda) \tag{24}$$

188

Avec q^{*l} , le chemin de Viterbi dans la séquence $O_{app l}$ est $\lambda Q^* = \{q^{*1}, q^{*2}, \dots, q^{*L}\}$. Les paramètres ne sont donc pas estimés en maximisant la probabilité réelle de génération des séquences d'apprentissage, mais plutôt la probabilité de génération le long du chemin le plus probable.

191

Soit $n_i, n_{i \rightarrow j}$ et n_i^o respectivement le nombre de fois où l'état i est utilisé, le nombre de fois où la transition $i \rightarrow j$ est utilisée et le nombre de fois où le symbole O est généré par l'état q dans le chemin de Viterbi :

193

$$\bar{a}_{ij} = \frac{n_{i \rightarrow j}}{n_i} \tag{25}$$

194

Et

195

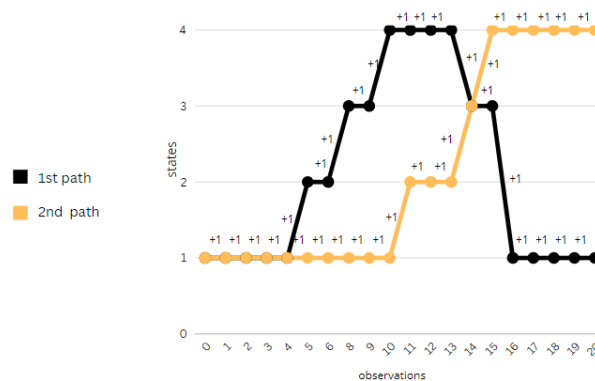
$$\bar{b}_j = \frac{n_j^o}{n_j} \tag{26}$$

196

Nous avons illustré le chemin de Viterbi sur la (Fig. 2), et le calcul des nombres de transition d'un état à l'autre sur la (TABLE.I).

198

199



200

Fig. 2. Illustration des meilleurs chemins de Viterbi pour deux séquences

201

202

Chaque fois que nous passons d'un état à un autre, nous incrémentons de + 1, la cellule de $n_{i \rightarrow j}$ du chemin de Viterbi est indiquée dans la (TABLE. I) :

203

204

205

206

207

208

209

210

211

212

TABLE I. 1^{ER} ET 2^{EME} CHEMIN DE VITERBI

De i \ VERS j	1	2	3	4
1	+4+10	+1+1	0	0
2	0	+1+2	+1+1	0
3	1	0	+2	+1
4	0	0	+1	+3+5

213 Les chemins de Viterbi sont utilisés pour calculer le nombre de fois que chaque symbole, état et transition d'état est utilisé.
 214 Les paramètres A et B sont ensuite réestimés jusqu'à ce que la stabilité soit atteinte. Cet algorithme d'apprentissage est résumé
 215 dans l'algorithme.1.

216

ALGORITHME 1. Apprentissage par Viterbi

217

Corpus apprentissage

$O_{app} = \{O_{app 1}, O_{app 2}, \dots, O_{app L}\}$

218

Choisir un modèle initial $\lambda = (A, B, \pi)$

219

Répéter

Initialisation de toutes les variables : $n_i, n_{i \rightarrow j}$ et n_i^0 à 0

220

POUR chaque $O_{app l} \in O_{app}$ **Faire**

221

Calculer le chemin de Viterbi de $O_{app l}$

222

Ajuster les variables $n_i, n_{i \rightarrow j}$ et n_i^0 la contribution de

223

$O_{app l}$

FIN Pour

224

Estimer les nouveaux paramètres $\lambda = (A, B, \pi)$ en utilisant les

225

Formules (25) et (26).

226

Jusqu'à la stabilité

227

228

229

230

231

232

V. UTILISATION DES MMC DANS UN PROBLÈME MULTICLASSES

233

En général, dans la classification MMC standard, chaque modèle est estimé à l'aide d'échantillons spécifiques à sa classe. Par exemple, nous considérons 4 classes ($R=4$), $O^r = \{O_1^r, O_2^r, \dots, O_L^r\}$ avec $r \in [1, R]$.

234

235

Pour classer des échantillons inconnus de la classe 1, seules les données d'apprentissage de la classe 1 ($O_{app}^1 = \{O_{app 1}^1, O_{app 2}^1, \dots, O_{app L}^1\}$) doivent être utilisées mais dans notre étude, nous voulons utiliser l'information potentiellement contenue dans les autres classes dans ce que nous avons appelé non-modèle. Comme le montre la figure 3, l'opposé du modèle 1 serait la combinaison d'échantillons provenant des autres classes pour estimer le non modèle1.

236

237

238

239

Dans notre étude, l'objectif est d'intégrer l'information contenue dans le non-modèle pour améliorer l'apprentissage du modèle. Afin de valider nos hypothèses, nous utilisons la boîte à outils Matlab pour produire des données. Nous avons choisi une topologie gauche-droite et divers paramètres ont été calculés aléatoirement. Avec cette stratégie, plusieurs tests peuvent être effectués pour vérifier la pertinence des résultats. Comme nous avons utilisé des modèles synthétiques, nous pouvons avoir des séquences d'états

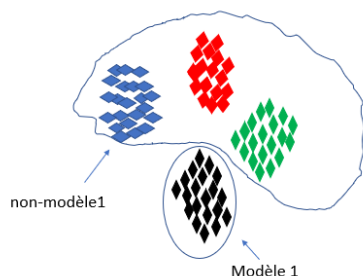
240

241

242

243
244

qui produisent des séquences d'observations. L'objectif de notre recherche est d'intégrer l'information contenue dans les non-modèles pour améliorer l'apprentissage des modèles (Khodja et al.,2022).



245
246

Fig. 3. Principe du modèle et du non-modèle

247

VI. MÉTHODE PROPOSÉE

248
249

R ensembles de paramètres de modèle ont été sélectionnés au hasard pour produire des données. L'ensemble des états et des observations peut être configuré (N et M). Le nombre de classes R est également choisi avant de générer des données.

250

A. Production des données avec des modèles synthétiques

251

Les différentes étapes de la production de données peuvent être résumées comme suit:

252

Étape 1: Sélection aléatoire des modèles

253

La première étape consiste à générer λ_r modèles avec Matlab. Ces modèles représentent R classes différentes.

254

Étape 2: Génération de données

255

Des observations synthétiques sont générées à partir de ces R modèles, en définissant un nombre de séquences d'observations O, de longueur T.

256

Étape 3: Corpus de formation et de test

257

Ces observations sont divisées en deux corpus: les données d'apprentissage et les données de test. Nous avons opté pour 2/3 des données utilisées pour l'apprentissage du modèle et 1/3 pour les données de test.

258

Étape 4: phase d'apprentissage

259

Pour la phase d'apprentissage, nous avons utilisé les algorithmes de Viterbi et de Baum-Welch pour la réestimation du modèle de chaque λ_r .

260

Étape 5: Phase d'identification et de classification

261

Pour vérifier la capacité des modèles à identifier chaque classe, nous avons utilisé le maximum de vraisemblance. Les cinq étapes sont présentées dans la (Fig. 3). Les résultats de cette classification fondés sur l'approche classique, fourniront les taux de reconnaissance de référence pour la suite de l'étude.

262

263

264

265

266

267

268

269

270

271

272

273

274

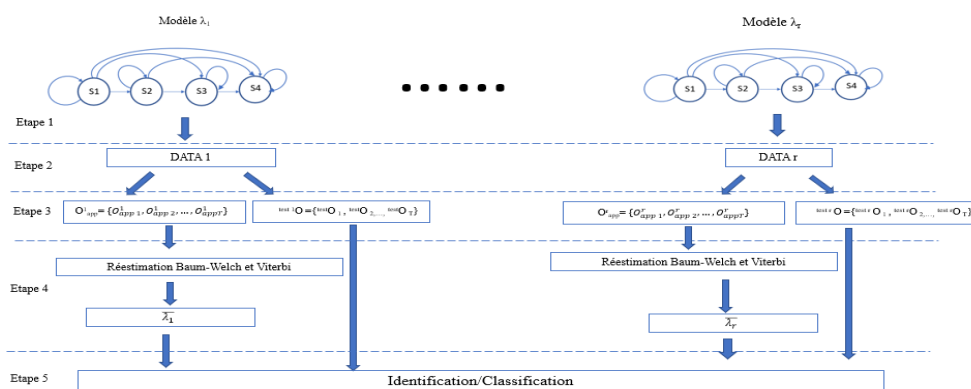
275

276

277

278

279



280

Fig. 4. Classification usuelle en utilisant les MMC

281

282

283

284

B. Discrimination par non-modèle

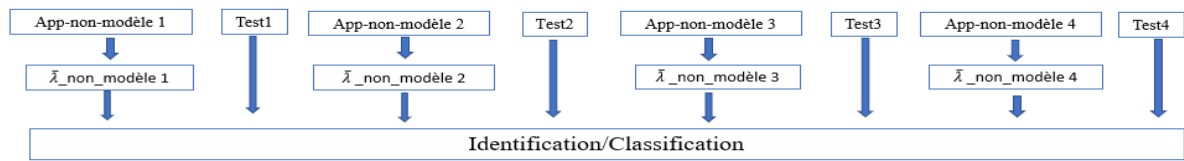
285

282 Dans la phase suivante de notre étude, nous avons examiné des échantillons des autres classes pour apprendre ce que nous
 283 appelons le non-modèle (ce que nous ne sommes pas). Dans cette partie, nous avons choisi $R = 4$ classes avec $N = 4$ états et M
 284 $= 16$ symboles. Les données d'apprentissage du non-modèle sont présentées dans la (Fig. 5).

$$O_{app,nb}^1 = \{O_{app,nb1}^1, O_{app,nb2}^1, \dots, O_{app,nbP}^1\} \left\{ \begin{array}{l} O_{app}^2 = \{O_{app1}^2, O_{app2}^2, \dots, O_{appL}^2\} \\ + \\ O_{app}^3 = \{O_{app1}^3, O_{app2}^3, \dots, O_{appL}^3\} \\ + \\ O_{app}^4 = \{O_{app1}^4, O_{app2}^4, \dots, O_{appL}^4\} \end{array} \right.$$

285 Fig. 5. Ensemble d'apprentissage du non-modèle 1

286 Dans la phase de test qui vise à identifier des échantillons inconnus, nous calculons la probabilité de chaque séquence avec
 287 chacun des non-modèles qui ont été estimés. Puisque nous avons appris le "contraire" des séquences (ou formes) que nous
 288 essayons d'identifier, nous recherchons le non-modèle qui ressemble le moins à la séquence à identifier. Le non-modèle ayant la
 289 probabilité la plus faible est celui qui identifie la non-classe. (La Fig. 6) résume la méthode.



290 Fig. 6. Méthode de classification par non-modèles

291 VII. PERFORMANCE DE L'APPROCHE CLASSIQUE

292 Après avoir défini la méthodologie, nous présentons les résultats obtenus par la modélisation "classique", qui serviront de
 293 référence pour quantifier la capacité de discrimination des non-modèles. Pour éviter de juger une situation qui pourrait être
 294 anecdotique, liée au tirage aléatoire des paramètres du modèle, les tests ont été répétés plusieurs fois. C'est la moyenne des
 295 résultats obtenus qui est fournie.
 296

297 A. Résultats pour les modèles synthétiques

298 Nous avons généré quatre modèles ($R=4$). La topologie de chaque modèle est de type gauche-droite à quatre états ($N=4$) avec
 299 seize symboles différents ($M=16$) émis. La longueur des séquences est de $T=20$ observations. Chaque base de données contient
 300 1000 séquences, les corpus d'apprentissage contiennent 700 séquences, tandis que les corpus de test contiennent 300 séquences.
 301 Nous avons d'abord effectué l'apprentissage à l'aide de l'algorithme de Baum-Welch. Ensuite, nous avons calculé la
 302 vraisemblance de chaque séquence avec chacun des modèles estimés. Pour la phase d'identification, nous avons calculé le
 303 maximum de vraisemblance. Les résultats sont présentés sous la forme d'une moyenne des résultats des 4 classes (TABLE. II).
 304

305 TABLE II. RÉSULTAT DE LA CLASSIFICATION PAR LES MODÈLES

Algorithmes	Résultats (%)
Baum-Welch	81.45
Viterbi	71.52

307
 308
 309
 310 Nous constatons que les résultats obtenus par l'apprentissage de Baum-Welch sont meilleurs que ceux obtenus par
 311 l'apprentissage de Viterbi.

312 B. Résultats pour les non-modèles

313 Dans la partie non-modèle, nous avons d'abord construit nos corpus d'apprentissage non-modèle comme le montre la (Fig.
 314 5). Chaque corpus d'apprentissage non-modèle contient $700 \text{ séquences} \times (R-1)$, dans notre cas $R=4$, soit $P=2100$ séquences
 315 d'observations d'apprentissage. Nous avons ensuite effectué la même approche pour les modèles (d'abord apprentissage par
 316 Baum-Welch, puis Viterbi). Nous avons calculé la vraisemblance de chaque séquence pour chacun des non-modèles estimés.
 317 Ensuite, nous avons recherché le minimum de vraisemblance. Les résultats sont présentés dans la TABLE III.
 318
 319

320

TABLE III. RÉSULTAT DE LA CLASSIFICATION PAR LES NON- MODÈLES

321
322

Algorithmes	Résultats des non-modèles (%)	Résultats des Modèles (%)
Baum-Welch	70.75	81.45
Viterbi	68	71.52

323

Ces résultats montrent la capacité de ces non-modèles à identifier les classes. Mais l'information contenue dans ces "non-modèles" est-elle complémentaire de celle du modèle ? Pour répondre à cette question, nous avons étudié la nature des erreurs commises par les modèles et les non-modèles, nous présentons un bref aperçu des erreurs (échantillons appartenant à la classe 1 et à la non-classe1, mais mal identifiés par le modèle ou le non-modèle) :

328

- Échantillon 1 : identification correcte pour le modèle et le non-modèle.
- Échantillons 10 et 32 : mêmes erreurs pour le modèle et le non-modèle.
- Échantillons 2 et 27 : erreur pour le modèle mais bonne identification pour le non-modèle.

329

330

331

A l'aide des différents tests effectués, nous avons constaté la capacité des non-modèles à identifier correctement les échantillons. Nous avons ensuite développé un nouvel algorithme d'apprentissage qui exploite l'information contenue dans les non-classes pour améliorer l'apprentissage des modèles.

332
333

334

VIII. ALGORITHME NON-BEHAVIOR VITERBI (NB VITERBI)

335

Afin d'améliorer l'apprentissage des modèles de Markov cachés, nous avons développé un algorithme qui exploite à la fois l'information contenue dans les classes et l'information contenue dans les autres classes (non-modèles). Dans l'algorithme d'apprentissage habituel de Viterbi, les meilleurs chemins sont utilisés pour améliorer les probabilités en incrémentant chaque transition. Plus une séquence d'états est fréquente, plus la probabilité associée est élevée.

336
337
338

339

Le principe de ce nouvel algorithme est de prendre en compte à la fois l'information contenue dans les modèles et celle des non-modèles. Pour tenir compte de l'influence des données de non-modèles, les meilleurs chemins calculés. Afin de transposer l'effet des séquences d'états de la base 'modèle' qui consiste à incrémenter les compteurs, les séquences d'états pour les 'non-modèles' vont décrémenter les compteurs. Dans les données non modèles, plus une séquence d'états est fréquente, plus la probabilité associée est faible.

340
341
342
343

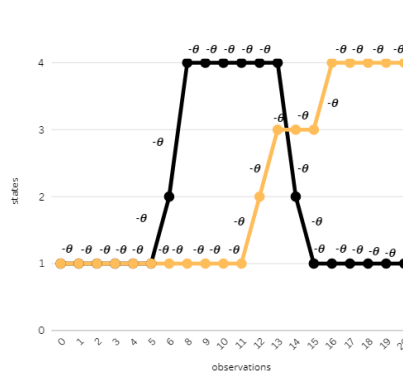
344

Nous illustrons le chemin de Viterbi dans la Fig. 7, et le calcul des nombres de transition d'un état à un autre dans la

345

TABLE IV, L'algorithme d'apprentissage de NB Viterbi est illustré dans l'algorithme 2. Les résultats de cet algorithme sont présentés dans la TABLE V

346



347

Fig. 9. Illustration des meilleurs chemins de Viterbi pour les non-modèles pour deux séquences

348

349

350

TABLE IV. 1ER ET 2ÈME CHEMIN DE VITERBI POUR LES NON-MODÈLES POUR DEUX SEQUENCES

351

352

Vers j \ De i	1	2	3	4
1	$-5\theta-10\theta$	$-\theta-\theta$	0	0
2	$-\theta$	0	$-\theta$	$-\theta$
3	1	0	-2θ	$-\theta$
4	0	$-\theta$	0	$-5\theta-4\theta$

353

354

355

356

357

358
359
360
361
362
363
364
365
366
367
368
369
370
371
372
373
374
375
376
377
378
379

ALGORITHME 2. Apprentissage par NB Viterbi

Données d'apprentissage :

$$O_{app} = \{O_{app\ 1}, O_{app\ 2}, \dots, O_{app\ L}\}$$

$$O_{app\ nb} = \{O_{app\ nb\ 1}, O_{app\ nb\ 2}, \dots, O_{app\ nb\ P}\}$$

Choisir un modèle initial $\lambda = (A, B, \pi)$

Répéter

Initialisation de toutes les variables : $n_i, n_{i \rightarrow j}$ et n_i^o à 0

POUR chaque $O_{app\ l} \in O_{app}$ **Faire**

Calculer le chemin de Viterbi de $O_{app\ l}$

Ajuster les variables $n_i, n_{i \rightarrow j}$ et n_i^o contribution de $O_{train\ l}$

Fin Pour

FOR chaque $O_{app\ nb\ P} \in O_{app\ nb}$

Calculer le chemin de Viterbi de $O_{app\ nb}$

Ajuster les variables $n_i, n_{i \rightarrow j}$ et n_i^o la contribution de $O_{app\ nb\ P}$

END

¹Ajouter un offset pour éliminer les éléments négatifs dans $n_i, n_{i \rightarrow j}$ et n_i^o

Réestimer les nouveaux paramètres $\lambda = (A, B, \pi)$

Jusqu'à la stabilité

380
381
382
383
384
385
386

TABLE V. RÉSULTATS DE LA CLASSIFICATION POUR LES TROIS ALGORITHMES

Algorithmes	Résultats (%)
Baum-Welch	81.45
Viterbi	71.52
NB Viterbi	79.55

387
388
389

Nous notons que le résultat obtenu avec l'algorithme d'apprentissage NB Viterbi est meilleur que celui obtenu avec l'algorithme d'apprentissage de Viterbi. Les tests ayant été effectués sur plusieurs jeux de données, nous montrons que les informations contenues dans les séquences de non-modèles peuvent améliorer l'apprentissage du modèle.

390

IX. CONCLUSION

391
392
393
394
395

Dans ce travail, nous avons utilisé des Modèles de Markov Cachés (MMC) pour la classification et l'identification. Nous avons montré que dans les multi-classes, chaque modèle est estimé en utilisant les échantillons spécifiques à sa classe. Mais dans notre étude, nous avons utilisé une nouvelle approche qui consiste à estimer le contraire d'une forme (non-modèle). Pour ce faire, des données synthétiques pour différentes classes sont générées. En utilisant les résultats de différents tests, nous avons démontré la capacité des non-modèles, en utilisant des échantillons d'autres classes (non-classes), à identifier correctement la classe.

396
397
398
399

Sur la base des résultats obtenus pour les non-modèles, nous avons développé l'algorithme d'apprentissage NB Viterbi qui exploite à la fois l'information contenue dans les modèles et l'information contenue dans les non-modèles pour améliorer l'apprentissage des MMC. Nous avons montré que l'algorithme d'apprentissage NB Viterbi donne de meilleurs résultats que ceux obtenus par l'algorithme d'apprentissage de Viterbi.

400
401

Dans cet article, nous montrons qu'il est possible d'exploiter les informations non liées à la classe pour améliorer l'étape d'apprentissage.

402
403

Dans nos prochains travaux, nous étudierons différentes stratégies d'utilisation des informations non liées au modèle. Les données du modèle pourraient être utilisées en premier lieu dans une étape de formation initiale, puis les données non liées au

¹ Offset pour $n_i = \text{abs}(\min(n_i))$ et Offset de $n_{i \rightarrow j} = \text{abs}(\min(n_{i \rightarrow j}))$

404 modèle pourraient être prises en compte. Cela permettrait de donner plus d'importance à la forme du modèle. Le poids du non-
405 modèle pourrait également être ajusté.

406

407

408

X. LES RÉSUMÉS

409 **Résumé** — Dans cet article, nous proposons une nouvelle stratégie pour l'apprentissage des modèles de Markov cachés dans le cas de
410 problèmes multi-classes. Nous voulons contribuer à une autre approche de l'apprentissage des MMC. L'approche habituelle consiste à trouver
411 le modèle qui correspond le mieux aux données de la classe considérée. Dans le cas d'un problème multi-classes, nous voulons démontrer
412 qu'il existe des informations pertinentes dans les autres classes qui peuvent être utilisées pour améliorer les paramètres du modèle de la classe.
413 Il s'agit d'apprendre le "contraire" des séquences (ou formes) que nous essayons d'identifier. Nous montrons que les non-modèles ont la
414 capacité d'identifier des classes, nous avons donc développé un nouvel algorithme d'apprentissage des MMC (apprentissage par NB Viterbi)
415 qui utilise à la fois l'information contenue dans les modèles et l'information contenue dans les non-modèles pour améliorer l'apprentissage
416 des MMC. Nous comparons les résultats de l'algorithme "classique" de formation de Viterbi avec le nouvel algorithme NB Viterbi et
417 démontrons que les résultats peuvent être améliorés.

418 **Mots-clés** — **Modèle de Markov Caché, algorithmes d'apprentissage, classification, simulation**

419 **Abstract** — In this paper, we propose a new strategy for training Hidden Markov Models in case of multiclass problems. We want to
420 contribute to a new approach to perform training of HMM. The usual approach consists in finding the model that better match the data of the
421 considered class. In case of multi-classes problem, we want to demonstrate that there is pertinent information in the others classes that can
422 be used to enhance parameters of the model of the class. This consists in learning the "opposite" of the sequences (or shapes) we're trying to
423 identify. We show that non-model has the ability to identify classes, so we've developed a new HMM learning algorithm (NB Viterbi training)
424 which uses both the information contained in models and the information contained in non-models to improve HMM learning. We compare
425 results of "classical" Viterbi training algorithm with the new NB Viterbi algorithm and demonstrate that results can be enhanced.

426 **Keywords** — **Hidden Markov Model, Training algorithm, Classification.**

427

REFERENCES

- Aupetit, S., Monmarché, N., & Slimane, M. (2007). Utilisation des Modèles de Markov cachés pour la reconnaissance robuste d'images : apprentissage par colonie de fourmis, algorithme génétique et essai particulier. *Optimisation en traitement du signal et de l'image (Traité IC2 série traitement du signal et de l'image)*, 245–269.
- Baum, L. E., Petrie, T., Soules, G., & Weiss, N. (1970). A Maximization Technique Occurring in the Statistical Analysis of Probabilistic Functions of Markov Chains. *Annals Of Mathematical Statistics*, 41(1), 164–171. <https://doi.org/10.1214/aoms/1177697196>.
- Cao, L., Yu, P. S., & Kumar, V. (2015). Nonoccurring Behavior Analytics : a new area. *IEEE Intelligent Systems*, 30(6), 4–11. <https://doi.org/10.1109/mis.2015.105>.
- Dempster, A. P., Laird, N. M., & Rubin, D. B. (1977). Maximum Likelihood from Incomplete Data via the EM Algorithm. *Journal of the Royal Statistical Society. Series B (Methodological)*, 39(1) (1977), 1–38.
- Gong, C., Wang, X., & He, Y. (2021). Remaining useful life and state of health prediction for lithium batteries based on empirical mode decomposition and a long and short memory neural network. *Energy*, 232, 121022. <https://doi.org/10.1016/j.energy.2021.121022>.
- Khodja, N. K., Duculty, F., Begot, S., & Avila, M. (2022). Contribution à l'apprentissage de Modèles de Markov Cachés pour l'estimation de l'état de santé de systèmes industriels. *Le congrès lambda mu 23*.
- Kim, M. S., Kim, D., & Lee, S. Y. (2003). Face recognition using the embedded HMM with second-order block-specific observations. *Pattern Recognition*, 36(11), 2723–2735. [https://doi.org/10.1016/s0031-3203\(03\)00137-7](https://doi.org/10.1016/s0031-3203(03)00137-7).
- Lee, J. M., Kim, S., Hwang, Y. M., & Song, C. H. (2004). Diagnosis of mechanical fault signals using continuous hidden Markov model. *Journal Of Sound And Vibration*, 276(3–5), 1065–1080. <https://doi.org/10.1016/j.jsv.2003.08.021>.
- Li, X., Ma, Y., & Zhu, J. (2021). An online dual filters RUL prediction method of lithium-ion battery based on unscented particle filter and least squares support vector machine. *Measurement*, 184, 109935. <https://doi.org/10.1016/j.measurement.2021.109935>

- Liu, J., You, M., Wang, Z., Li, G., Xu, X., & Qiu, Z. (2015). Cough event classification by pretrained deep neural network. *BMC Medical Informatics And Decision Making*, 15(S4). <https://doi.org/10.1186/1472-6947-15-s4-s2>.
- Martín-Iglesias, D., Bernal-Chaves, J., Peláez-Moreno, C., Gallardo-Antolín, A., & Díaz-De-María, F. (2006). A Speech Recognizer Based on Multiclass SVMs with HMM-Guided Segmentation. Dans *Lecture Notes in Computer Science* (p. 257-266). https://doi.org/10.1007/11613107_22.
- Qiu, G., Gu, Y., & Chen, J. (2020). Selective health indicator for bearings ensemble remaining useful life prediction with genetic algorithm and Weibull proportional hazards model. *Measurement*, 150, 107097. <https://doi.org/10.1016/j.measurement.2019.107097>.
- Rabiner, L. R. (1989). A tutorial on hidden Markov models and selected applications in speech recognition. *Proceedings Of The IEEE*, 77(2), 257-286. <https://doi.org/10.1109/5.18626>.
- Smyth, P. (1997). Clustering sequences with hidden Markov models. *Adv Neural Inf Process Syst* 9, 648–654.
- Wang, L., Zhou, Y., Li, R., & Ding, L. (2022). A fusion of a deep neural network and a hidden Markov model to recognize the multiclass abnormal behavior of elderly people. *Knowledge-Based Systems*, 252, 109351. <https://doi.org/10.1016/j.knosys.2022.109351>.